

Starkniederschlagshöhen und -spenden gemäß KOSTRA-DWD-2010R

Auswertungszeitraum von 1951 - 2010, Januar - Dezember

Rasterfeld: 22058

Zeile: 22

Spalte: 58

Seite: 1/2

| Dauerstufe D | Wiederkehrzeit T | | | | | | | | | | | | | | | | | | |
|--------------|------------------|------|------------|------|------------|------|------------|------|------------|------|------------|------|------------|------|------------|------|------------|------|------------|
| | 1 a | | 2 a | | 3 a | | 5 a | | 10 a | | 20 a | | 30 a | | 50 a | | 100 a | | |
| min | Std | mm | l / (s ha) | mm | l / (s ha) | mm | l / (s ha) | mm | l / (s ha) | mm | l / (s ha) | mm | l / (s ha) | mm | l / (s ha) | mm | l / (s ha) | mm | l / (s ha) |
| 5 | | 4,9 | 163,3 | 6,8 | 226,7 | 7,9 | 263,3 | 9,4 | 313,3 | 11,3 | 376,7 | 13,2 | 440,0 | 14,3 | 476,7 | 15,7 | 523,3 | 17,6 | 586,7 |
| 10 | | 7,6 | 126,7 | 10,0 | 166,7 | 11,5 | 191,7 | 13,3 | 221,7 | 15,7 | 261,7 | 18,2 | 303,3 | 19,6 | 326,7 | 21,4 | 356,7 | 23,8 | 396,7 |
| 15 | | 9,3 | 103,3 | 12,1 | 134,4 | 13,8 | 153,3 | 15,8 | 175,6 | 18,6 | 206,7 | 21,5 | 238,9 | 23,1 | 256,7 | 25,2 | 280,0 | 28,0 | 311,1 |
| 20 | | 10,5 | 87,5 | 13,6 | 113,3 | 15,4 | 128,3 | 17,7 | 147,5 | 20,8 | 173,3 | 23,9 | 199,2 | 25,7 | 214,2 | 28,0 | 233,3 | 31,2 | 260,0 |
| 30 | | 12,0 | 66,7 | 15,6 | 86,7 | 17,7 | 98,3 | 20,3 | 112,8 | 23,9 | 132,8 | 27,5 | 152,8 | 29,6 | 164,4 | 32,2 | 178,9 | 35,8 | 198,9 |
| 45 | | 13,3 | 49,3 | 17,4 | 64,4 | 19,8 | 73,3 | 22,9 | 84,8 | 27,0 | 100,0 | 31,1 | 115,2 | 33,6 | 124,4 | 36,6 | 135,6 | 40,7 | 150,7 |
| 60 | | 14,0 | 38,9 | 18,6 | 51,7 | 21,3 | 59,2 | 24,6 | 68,3 | 29,2 | 81,1 | 33,8 | 93,9 | 36,5 | 101,4 | 39,8 | 110,6 | 44,4 | 123,3 |
| 90 | | 15,3 | 28,3 | 20,0 | 37,0 | 22,8 | 42,2 | 26,3 | 48,7 | 31,1 | 57,6 | 35,9 | 66,5 | 38,7 | 71,7 | 42,2 | 78,1 | 47,0 | 87,0 |
| 120 | 2 | 16,2 | 22,5 | 21,1 | 29,3 | 24,0 | 33,3 | 27,6 | 38,3 | 32,5 | 45,1 | 37,5 | 52,1 | 40,3 | 56,0 | 43,9 | 61,0 | 48,9 | 67,9 |
| 180 | 3 | 17,7 | 16,4 | 22,8 | 21,1 | 25,8 | 23,9 | 29,6 | 27,4 | 34,7 | 32,1 | 39,8 | 36,9 | 42,8 | 39,6 | 46,6 | 43,1 | 51,7 | 47,9 |
| 240 | 4 | 18,8 | 13,1 | 24,0 | 16,7 | 27,1 | 18,8 | 31,0 | 21,5 | 36,3 | 25,2 | 41,6 | 28,9 | 44,7 | 31,0 | 48,6 | 33,8 | 53,8 | 37,4 |
| 360 | 6 | 20,4 | 9,4 | 25,9 | 12,0 | 29,2 | 13,5 | 33,2 | 15,4 | 38,7 | 17,9 | 44,2 | 20,5 | 47,5 | 22,0 | 51,5 | 23,8 | 57,0 | 26,4 |
| 540 | 9 | 22,3 | 6,9 | 28,0 | 8,6 | 31,4 | 9,7 | 35,6 | 11,0 | 41,3 | 12,7 | 47,1 | 14,5 | 50,4 | 15,6 | 54,7 | 16,9 | 60,4 | 18,6 |
| 720 | 12 | 23,7 | 5,5 | 29,6 | 6,9 | 33,0 | 7,6 | 37,4 | 8,7 | 43,3 | 10,0 | 49,2 | 11,4 | 52,7 | 12,2 | 57,0 | 13,2 | 63,0 | 14,6 |
| 1080 | 18 | 25,8 | 4,0 | 32,0 | 4,9 | 35,6 | 5,5 | 40,1 | 6,2 | 46,3 | 7,1 | 52,4 | 8,1 | 56,0 | 8,6 | 60,6 | 9,4 | 66,7 | 10,3 |
| 1440 | 24 | 27,4 | 3,2 | 33,8 | 3,9 | 37,5 | 4,3 | 42,1 | 4,9 | 48,5 | 5,6 | 54,9 | 6,4 | 58,6 | 6,8 | 63,2 | 7,3 | 69,6 | 8,1 |
| 2880 | 48 | 32,8 | 1,9 | 40,0 | 2,3 | 44,2 | 2,6 | 49,5 | 2,9 | 56,7 | 3,3 | 63,9 | 3,7 | 68,1 | 3,9 | 73,4 | 4,2 | 80,6 | 4,7 |
| 4320 | 72 | 36,5 | 1,4 | 44,2 | 1,7 | 48,7 | 1,9 | 54,3 | 2,1 | 62,0 | 2,4 | 69,7 | 2,7 | 74,2 | 2,9 | 79,8 | 3,1 | 87,5 | 3,4 |

Angaben in mm: Bemessungsniederschlagswerte h(n)

Angaben in l / (s ha): Regenspende R(n) mit $R(n) = h(n) \times 1,666667 / D[\text{min}]$

Toleranzbereiche:

+/- 10 % für $1 \text{ a} \leq T \leq 5 \text{ a}$

+/- 15 % für $5 \text{ a} < T \leq 50 \text{ a}$

+/- 20 % für $50 \text{ a} < T \leq 100 \text{ a}$

Datenbasis: KOSTRA-DWD-2010R des Deutschen Wetterdienstes. Die Regenspende wurde auf Basis des Bemessungsniederschlags zur jeweiligen Andauer berechnet.

Für die Richtigkeit und Aktualität der Angaben wird keine Gewähr übernommen. Erstellt 07/2022.

Starkniederschlagshöhen und -spenden gemäß KOSTRA-DWD-2010R

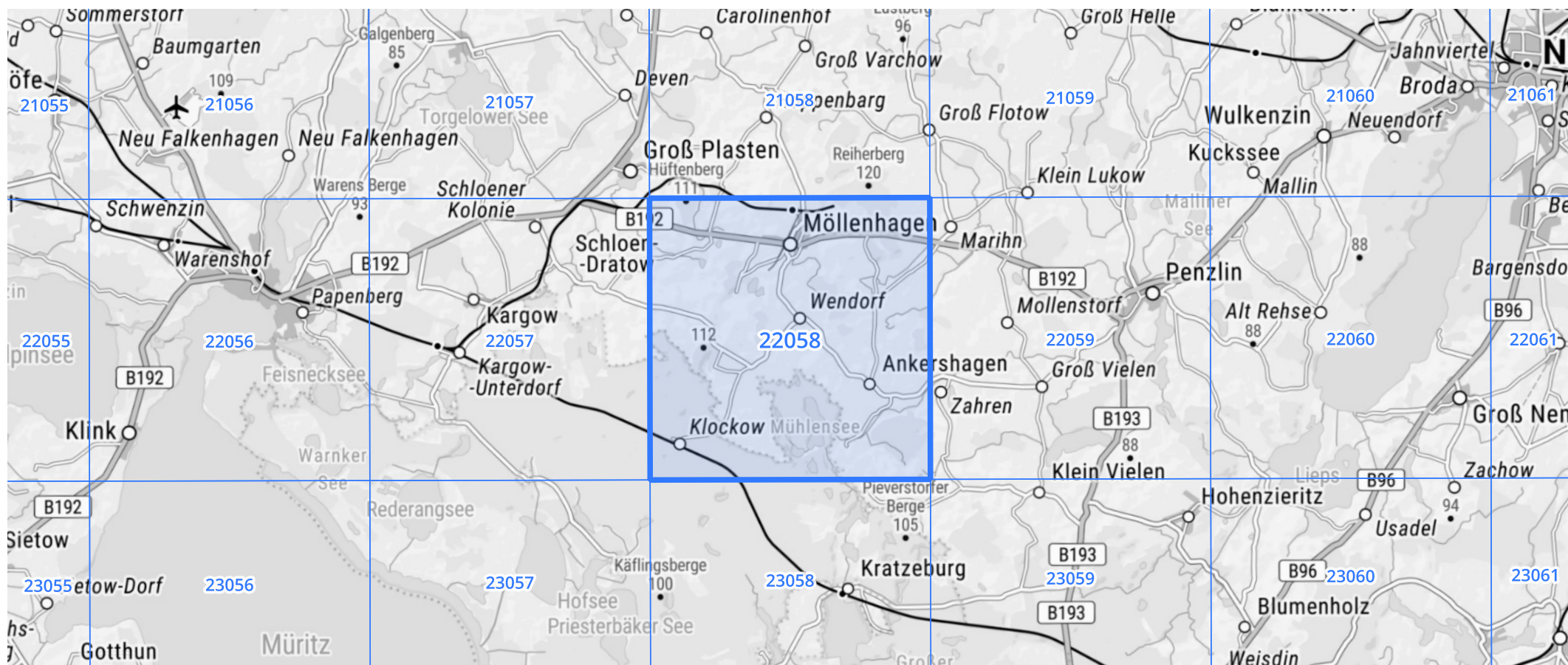
Auswertungszeitraum von 1951 - 2010, Januar - Dezember

Rasterfeld: 22058

Zeile: 22

Spalte: 58

Seite: 2/2



Quelle Rasterdaten: KOSTRA-DWD-2010R des Deutschen Wetterdienstes.

Kartendarstellung: © Bundesamt für Kartographie und Geodäsie (2022), Datenquellen: https://sgx.geodatenzentrum.de/web_public/gdz/datenquellen/Datenquellen_TopPlusOpen.html

Für die Richtigkeit und Aktualität der Angaben wird keine Gewähr übernommen. Erstellt 07/2022.